2019年4月

Journal of Terahertz Science and Electronic Information Technology

Apr., 2019

文章编号: 2095-4980(2019)02-0205-04

基于导电聚合物的太赫兹频率选择表面

都 妍, 武亚君, 张 元, 霍熠炜

(上海无线电设备研究所 电磁散射重点实验室, 上海 200438)

摘 要:导电聚合物材料聚 3,4-乙撑二氧噻吩(PEDOT):聚 4-苯乙烯磺酸盐(PSS)是一种在太赫兹波段很有潜力的多功能材料。为了验证其代替金属应用于太赫兹超材料(MMs)中的可能性,设计了一个基于二甲基亚砜(DMSO)掺杂 PEDOT:PSS 的太赫兹频率选择表面(FSS),并通过 CST Microwave Studio 软件模拟了该 FSS 在太赫兹波段的性能。研究结果表明,该 FSS 在谐振频率下可实现强带阻,调制深度可达 50 dB。

关键词:导电聚合物;太赫兹;超材料;频率选择表面

中图分类号: TN36

文献标志码: A

doi: 10.11805/TKYDA201902.0205

Terahertz Frequency Selective Surface based on DMSO-doped PEDOT:PSS films

DU Yan, WU Yajun, ZHANG Yuan, HUO Yiwei

(Science and Technology on Electromagnetic Scattering Laboratory, Shanghai Radio Equipment Research Institute, Shanghai 200438, China)

Abstract: Poly 3,4-Ethylene Dioxythi Ophene:Poly 4-Styrene Sulfonate(PEDOT:PSS) is a promising candidate for Terahertz(THz) multifunctional materials. In order to verify the possibility of PEDOT:PSS replacing metals in terahertz Metamaterials(MMs), a terahertz Frequency Selective Surface(FSS) based on Dimethyl Sulphoxide(DMSO)-doped PEDOT:PSS films is designed and simulated by Computer Simulation Technology(CST) Microwave Studio software. Strong band rejection with a modulation depth of 50 dB can be achieved at resonant frequencies.

Keywords: conducting polymers; Terahertz; Metamaterials; Frequency Selective Surface

电磁超材料(MMs)是一种人造复合材料, 其各向异性和相关电磁特性是通过单元网络内亚波长结构的设计 和取向来设定和改变。许多电磁效应和相关器件在 MMs 理论证实和采用之前都被认为不可能出现,例如负折 射率、完美成像透镜和隐身衣等。同时,电磁 MMs 的响应范围可以通过亚波长谐振结构的设计从可见光波段 延伸至近红外和太赫兹波段。在太赫兹领域,平面 MMs 也已经应用在具有不同功能的重要有源和无源器件当 中,例如太赫兹完美吸收器[1]、太赫兹滤波器[2]、太赫兹频率选择表面(FSS)[3]等。这些 MMs 通常采用金属材料 (Au,Ag,Cu 等)作为亚波长结构。对于大多数基于 MMs 的应用来说,材料损耗和带宽是评估器件性能的关键参 数,材料的谐振性质会严重影响这些器件的实际应用。而金属材料往往会带来较大的损耗、较复杂的加工工艺 和较高的加工成本[4-5]。为了解决这一问题,设计一种损耗低、易加工的新材料来代替金属作为太赫兹波段 MMs。导电聚合物材料聚 3,4-乙撑二氧噻吩(PEDOT): 聚 4-苯乙烯磺酸盐(PSS)因其具有良好导电性、薄膜稳 定性、薄膜透明性和能够在水溶液中加工的特性而受到广泛关注,与其他导电聚合物相比具有更广阔的应用前 景[6-8]。PEDOT:PSS 已经被用作抗静电涂层和空穴注入层应用于有机发光二极管(Organic Light-Emitting Diode, OLED)和太阳能电池中[9-10]。不仅如此,最新的研究结果表明,二甲亚砜(DMSO)掺杂 PEDOT:PSS 薄膜在太赫 兹波段也具备很高的电导率、良好的稳定性和优异的薄膜透明性,不仅可以作为太赫兹波段高性能的透明电极 材料,还可以作为太赫兹抗反射涂层材料和滤波材料,是一种非常有潜力的太赫兹波段多功能材料,有可能代 替金属应用于太赫兹 MMs 领域中[11]。为了验证 DMSO 掺杂 PEDOT:PSS 薄膜在太赫兹 MMs 中应用的可能性, 本文结合 DMSO 掺杂 PEDOT:PSS 薄膜在太赫兹波段的介电性能,设计了一个太赫兹 FSS,并通过 CST Microwave Studio 软件模拟了其在太赫兹波段的性能。

收稿日期: 2017-11-13; 修回日期: 2017-12-28

基金项目:上海市科学技术委员会优秀技术带头人计划资助项目(16XD1423300);民机专项科研资助项目(MJ-2017-F-11)

1 器件结构设计

设计了一种无金属材料、结构简单的太赫兹 FSS。该 FSS 可以通过在高阻硅表面刻蚀十字交叉型凹槽的周期性 阵列来实现,刻蚀后的高阻硅结构单元如图 1(a)所示。在 带有凹槽结构的高阻硅片上制作一层厚度为 0.1 µm 的 DMSO 掺杂的 PEDOT:PSS 薄膜,整体单元结构如图 1(b) 所示。

FSS 周期性单元结构的几何尺寸也在图 1 中标出,凹槽长度为 L,凹槽宽度为 W,凹槽深度为 D,高阻硅的厚度为 h_r ,DMSO 掺杂 PEDOT:PSS 薄膜的厚度为 h_s ,FSS 单元周期为 P。凹槽的几何尺寸决定 FSS 的响应频率,凹槽的宽度控制共振频率响应的形状和 Q 因数。为了使 FSS

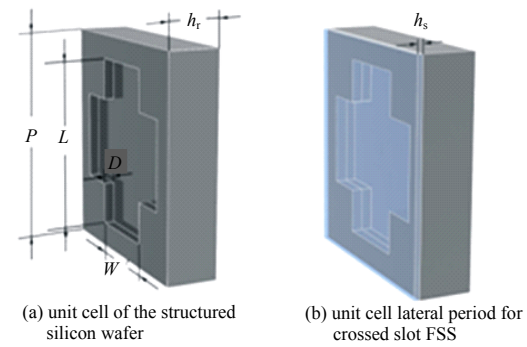


Fig.1 Schematic of the THz FSS 图 1 太赫兹 FSS 结构示意图

在太赫兹频率范围内获得窄带吸收,应同时调整和优化 FSS 凹槽的各个几何参数。经过优化,将 FSS 结构单元的几何参数取值确定为,L=156 μ m,W=80 μ m,D=10 μ m,P=200 μ m, h_s =0.1 μ m。

2 结果与讨论

本文设计的 FSS 单元周期结构无限阵列的模拟,是通过 CST Microwave Studio 软件中的全 Floquet 模式模拟 FSS 中的每个单元来实现的,设置周期性边界条件,通过频域求解器对该结构单元进行模拟。其中,高阻硅的参数在材料库里直接选择,DMSO 掺杂 PEDOT:PSS 薄膜的介电参数¹²¹如表 1 所示。

表 1 不同浓度 DMSO 掺杂 PEDOT:PSS 薄膜的介电参数 Table1 Dielectric parameters of DMSO-doped-PEDOT:PSS films

| | | | r | | |
|---|---------------------|-----------------------------------|----------------------------|----------------------|-------|
| _ | doped concentration | $(\omega_{\rm p}/2\pi)/{\rm THz}$ | $(\omega_{\tau}/2\pi)/THz$ | $arepsilon_{\infty}$ | c_1 |
| | pristine | 22.9 | 0.94 | 284 | -0.86 |
| | 5 vol% DMSO | 26.4 | 0.67 | 579 | -0.79 |
| | 8 vol% DMSO | 32.4 | 1.63 | 711 | -0.31 |
| | 12 vol% DMSO | 53.2 | 1.78 | 573 | -0.70 |
| | 15 vol% DMSO | 66.9 | 1.77 | 321 | -0.60 |

在入射波垂直于 FSS 平面时,对基于掺杂 5 vol% DMSO,12 vol% DMSO 和 15 vol% DMSO-PEDOT:PSS 薄膜的太赫兹十字交叉型 FSS 分别进行模拟,TE 模式平面波从 Z_{\min} 端口出射的频率响应结果分别如图 2 所示。从图中可以看到,该结构 FSS 的共振频率在 0.5 THz 附近,并且具有较高掺杂浓度的 PEDOT:PSS 薄膜在共振频率处的幅值最大。其中,基于 15 vol% DMSO 掺杂 PEDOT:PSS 薄膜的 FSS 调制深度接近 45 dB。设计的太赫兹 FSS 为中心对称结构,因此其在入射角度 θ 为 0 时的频率响应特性应该与入射平面波偏振无关,即 TE 波和 TM 波的频率响应特性应没有差别。为此,模拟了 FSS 对 TE 和 TM 模式入射平面波的频率响应,如图 3 所示。从图中可以看出,该 FSS 对入射平面波的偏振不敏感。

之前的模拟是在入射波垂直于 FSS 平面,即入射角度 θ =0 的情况下进行的。入射角度也会影响器件的共振特性,为了探究入射角度对 FSS 共振特性的影响,分别

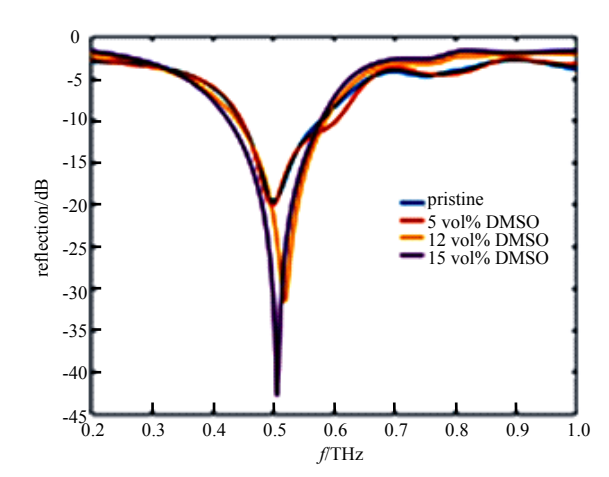


Fig.2 Reflection spectra of the crossed slot FSS with PEDOT:PSS thin films doped with different concentration of DMSO 图 2 基于不同掺杂浓度 PEDOT:PSS 的十字交叉型 FSS 在太赫兹波段的频率响应

模拟了辐射角度为 30°,45°和 60°时,基于 15 vol% DMSO 掺杂 PEDOT:PSS 薄膜的 FSS 共振频率特性,如图 4 所示。从图中可以看出,虽然入射角度的改变对共振频率没有影响,但却极大地影响到了共振频率响应的形状,随着入射角度的增加,对平面波的抑制作用明显减弱,调制深度逐渐降低。

调整该 FSS 结构单元的几何参数取值,改变十字交叉型凹槽的宽度 W,其他几何参数不变。模拟垂直入射情况下,当 W=70 μ m 和 W=90 μ m 时,基于 15 vol% DMSO 掺杂PEDOT:PSS 薄膜的 FSS 在太赫兹波段的共振频率特性,并与 W=80 μ m 时的共振频率响应比较,见图 5。从图中可以看出,凹槽宽度的改变会极大影响共振频率响应的形状,宽度为 80 μ m 时的调制深度最大,此时约为宽度的最佳取值。在此基础上增大或减小宽度都会降低该 FSS 的调制深度。

调整该 FSS 结构单元的几何参数取值,改变十字交叉型 凹槽的长度 L,其他几何参数不变。模拟垂直入射情况下,当 L=136 μ m,L=176 μ m 和 L=196 μ m 时,基于 15 vol% DMSO 掺杂 PEDOT:PSS 薄膜的 FSS 在太赫兹波段的共振频率特性,并与 L=156 μ m 时的共振频率响应比较,如图 6 所示,图中插图为 L=156 μ m,L=176 μ m 和 L=196 μ m 时共振频率响应的局部放大图。从图中可以看出,凹槽长度的改变几乎不影响共振峰的位置,只改变共振强度。当长度从136 μ m 增加至 176 μ m 时,调制深度从 26 dB 增加至 50 dB;但当长度继续增加至 196 μ m 时,调制深度略微下降。由此可知,L=176 μ m 约为长度的最佳取值。

超材料通常是由电介质基底上的亚波长图案组成,在过去的研究中,这些图案往往是用传统微加工技术(光刻、微接触印刷等)加工高导电性金属(Au,Al,Cu等)或石墨烯制作,然而这些加工技术加工时间较慢,其他快速加工方法,如离子束溅射刻蚀法精确度不高,不能达到小于 10 μm 的分辨力^[13-14]。使用 DMSO 掺杂 PEDOT:PSS 的优点在于其涂层简单,成本较低,容易成膜,并且可以通过改变掺杂量来控制介电性质。此外,PEDOT:PSS 薄膜也可以在基底上成膜之后进行激光加工,激光加工可以在大面积上进行快速且高分辨力的图案化处理^[15]。由于这些因素,设计的基于 DMSO 掺

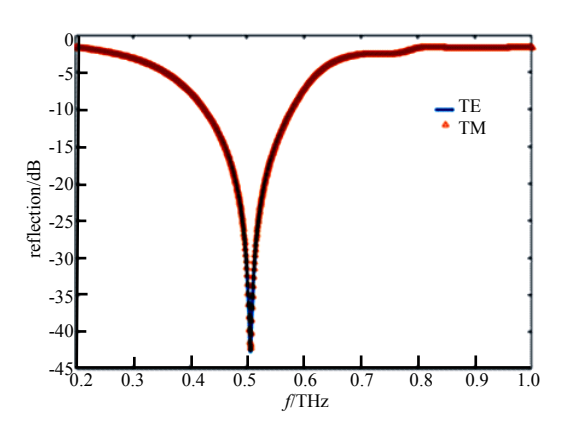


Fig.3 Reflection spectra for the TE and TM polarization of the incident wave

图 3 入射波为 TE 和 TM 模式下的共振频率响应

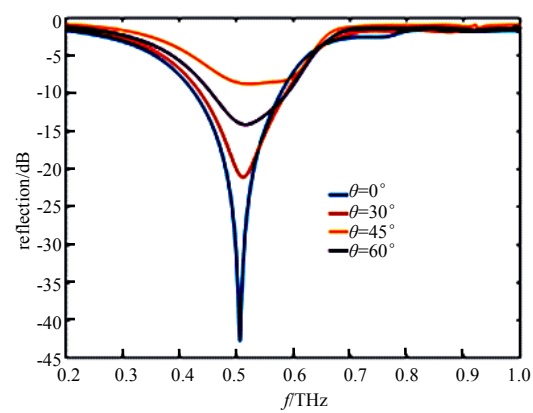


Fig.4 Reflection spectra of the crossed slot FSS with 15 vol% DMSO-doped-PEDOT:PSS thin films at different incident angles

图 4 不同人射角度下,基于 15 vol% DMSO 掺杂 PEDOT:PSS 薄膜的 FSS 共振频率特性

杂 PEDOT: PSS 的超材料器件在制作工艺上更为简单, 更符合实用化器件的要求。

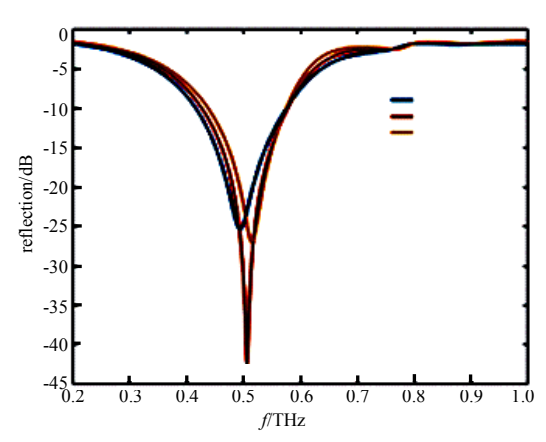


Fig.5 Reflection spectra of the crossed slot FSS with 15 vol% DMSOdoped-PEDOT:PSS thin films with different slot widths

图 5 不同十字交叉型凹槽的宽度下,基于 15 vol% DMSO 掺杂 PEDOT:PSS 薄膜的 FSS 共振频率特性

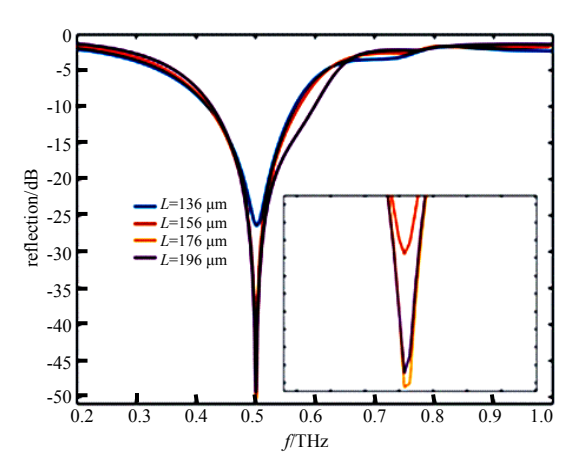


Fig.6 Reflection spectra of the crossed slot FSS with 15 vol% DMSO-doped-PEDOT:PSS thin films with different slot lengths

图 6 不同十字交叉型凹槽的长度下,基于 15 vol% DMSO 掺杂 PEDOT:PSS 薄膜的 FSS 共振频率特性

3 结论

PEDOT:PSS 是太赫兹超材料领域一种有潜力的功能材料。本文根据 DMSO 掺杂 PEDOT:PSS 薄膜太赫兹波段的介电参数,基于 DMSO 掺杂 PEDOT:PSS 薄膜和高阻硅设计了一个太赫兹十字交叉凹槽型 FSS,并用 CST Microwave Studio 软件对其在太赫兹波段的共振频率响应特性进行了模拟;该 FSS 的共振频率响应与入射平面波偏振无关,周期性单元结构几何尺寸的改变会影响共振频率响应情况,使用 15 vol% DMSO 掺杂 PEDOT:PSS 薄膜的 FSS 调制深度可达 50 dB;改变入射光的入射角度,发现垂直 FSS 平面入射情况下,调制深度最大,随着入射角度的增加,调制深度逐渐减小。

参考文献:

- [1] HE X J,YAN S T,MA Q X,et al. Broadband and polarization-insensitive terahertz absorber based on multilayer metamaterials[J]. Optics Communications, 2015(340):44–49.
- [2] WOO J M,KIM D S,KIM D J,et al. Terahertz filter integrated with a subwavelength structured antireflection coating[J]. AIP Advances, 2015,5(12):127238.
- [3] KIM D,WOO J M,Kim H W,et al. Quad-band THz frequency selective surface based on a split ring resonator loaded with multiple slots[J]. Journal of Electromagnetic Waves and Applications, 2015,29(18):7.
- [4] CHIANG Y J,YEN T J. A composite-metamaterial-based terahertz-wave polarization rotator with an ultrathin thickness, an excellent conversion ratio and enhanced transmission[J]. Applied Physics Letters, 2013,102(1):011129.
- [5] NATHANIEL K G,JANE E H,DIBAKAR R,et al. Terahertz metamaterials for linear polarization conversion and anomalous refraction[J]. Science, 2013,340(6138):1304-1307.
- [6] OUYANG J,CHU C W,CHEN F C,et al. High-Conductivity Poly(3,4-ethylenedioxythiophene):Poly(styrene sulfonate) film and its application in polymer optoelectronic devices[J]. Advanced Functional Materials, 2005,15(2):203-208.
- [7] VOSGUERITCHIAN M,LIPOMI D J,BAO Z. Highly conductive and transparent PEDOT:PSS films with a fluorosurfactant for stretchable and flexible transparent electrodes[J]. Advanced Functional Materials, 2012,22(2):421-428.
- [8] HEYWANG G,JONAS F. Poly(alkylenedioxythiophene)s-new very stable conducting polymers[J]. Advanced Materials, 2010,4(2):116-118.
- [9] WU X,LIU J,HE G. A highly conductive PEDOT:PSS film with the dipping treatment by hydroiodic acid as anode for organic light emitting diode[J]. Organic Electronics, 2015(22):160-165.
- [10] SUN K,LI P,XIA Y,et al. Transparent conductive oxide-free perovskite solar cells with PEDOT:PSS as transparent electrode[J]. Acs Applied Materials & Interfaces, 2015,7(28):15314.
- [11] DU Y,TIAN H,CUI X J,et al. Super terahertz transparent electrodes[J]. Optics Express, 2016,24(6):6359-6366.
- [12] DU Y,CUI X,LI L,et al. Dielectric properties of DMSO-Doped-PEDOT:PSS at THz frequencies[J]. Physica Status Solidi, 2017,10.1002/pssb.201700547.
- [13] SCHAEFER M,ESSER A,RUHTENBERG M Schulz, et al. Investigation of the influence of laser radiation on material properties of transparent conductive layers[C]// Organic Light Emitting Materials & Devices XVI. San Diego, California, United States: International Society for Optics and Photonics, 2012:8476:84760Z.
- [14] 仝文浩,刘北云,杨炎翰,等. 基于石墨烯材料的太赫兹波探测器研究进展[J]. 太赫兹科学与电子信息学报, 2018,16(4): 588-594. (TONG Wenhao,LIU Beiyun,YANG Yanhan,et al. Research progress of graphene based terahertz wave detectors[J]. Journal of Terahertz Science and Electronic Information Technology, 2018,16(4):588-594.)
- [15] SCHAUBROECK D,SMET J D,WILLEMS W,et al. Surface analysis of the selective excimer laser patterning of a thin PEDOT: PSS film on flexible polymer films[J]. Applied Surface Science, 2016(376):151-160.

作者简介:



都 妍(1990-), 女, 黑龙江省大庆市人, 博士, 主要研究方向为太赫兹新材料与器件、太赫兹雷达技术.email:geng2yan@126.com.

霍熠炜(1990-),男,太原市人,工程师, 主要研究方向为目标与环境特性、太赫兹目标

RCS 等技术.

武亚君(1983-),女,沈阳市人,研究员,主要研究方向为目标与环境特性、太赫兹目标RCS等技术.

张 元(1979-), 男, 安徽省马鞍山市人, 研究员, 主要研究方向为目标与环境近场复合散射测试、海环境模拟测试和近场动态角闪烁获取等技术.